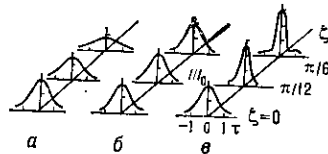


чивости. Действительно, вызванная фазовой самомодуляцией поперечная неоднородность поля усиливает нелинейную рефракцию и т. д. Самосжатие, самофокусировку можно интерпретировать и на спектральном языке как результат последовательных четырёхволновых взаимодействий, приводящих к «лавинному» уширению частотного или углового спектров.

**Оптические солитоны.** Чем определяется предельное нелинейное сжатие светового импульса и светового пучка? При самосжатии плоских волновых пакетов, обусловленном продольными взаимодействиями, компрессия сдерживается дисперсионным расплыванием. При этом оказывается возможным устойчивый баланс

Рис. 11. Изменение формы импульсов с расстоянием, пройденным в нелинейной среде: а — при  $W < W_{kp}$  — расплывание; б — при  $W = W_{kp}$  — оптический солитон; в — при  $W > W_{kp}$  — компрессия.



сжатия и расплывания; он достигается при плотности энергии пакета ( $\text{Дж}/\text{см}^2$ )

$$W_{kp} = 2 \frac{\partial^2 k}{\partial \omega^2} / kn_2 t_c. \quad (36)$$

При  $W = W_{kp}$  в кубической среде распространяется стационарный импульс — солитон оптический, огибающий к-рого

$$\rho_c(\eta) = \rho_{co} \operatorname{sech}(\eta/t_c). \quad (37)$$

Такой импульс является стационарным решением нелинейного параболич. ур-ния типа (21)

$$\frac{\partial A}{\partial z} - i \frac{1}{2} \frac{\partial^2 k}{\partial \omega^2} \frac{\partial^2 A}{\partial \eta^2} + i \frac{1}{2} kn_2 |A|^2 A = 0. \quad (38)$$

Изменение формы световых импульсов при разл. соотношениях между  $W$  и  $W_{kp}$  изображено на рис. 11. Существенным оказывается то, что солитонное решение вида (37) оказывается устойчивым по отношению к малым вариациям  $W$  вблизи  $W_{kp}$ .

Нелинейная рефракция, приводящая к пространственной самофокусировке света, сдерживается дифракцией. Баланс нелинейной рефракции и дифракции достигается при полной мощности трёхмерного пучка

$$P_{kp} = \frac{(1,22\lambda)^2 c}{128 n_2} \quad (39)$$

[ср. с (36)]. Для волнового пакета и двумерного пучка баланс определяется интенсивностью, для трёхмерного — полной мощностью. Однако здесь баланс неустойчив; при  $P > P_{kp}$  нелинейная рефракция подавляет дифракцию, пучок продолжает сжиматься. Проделом этого «лавинного» процесса часто становится оптический пробой (см. также *Самофокусировка света*).

**Оптическая бистабильность.** Эффективность продольных взаимодействий может быть резко усиlena за счёт использования обратной связи, оптич. резонатора. Ярким примером такого усиления является возникновение амплитудной оптич. бистабильности в оптич. резонаторе Фабри — Пере, заполненном средой с кубичной нелинейностью. За счёт многократного прохождения через среду сигнал на выходе приобретает значительный нелинейный фазовый набег. При достаточно большой интенсивности на входе интенсивность на выходе испытывает скачки и обнаруживает гистерезис (подробнее см. *Оптическая бистабильность*).

**Генерация пространственных структур, оптическая турбулентность.** Обусловленные продольными взаимодействиями оптич. бистабильность и соответствующие неустойчивости являются лишь «временными» проекциями широкого класса волновых взаимодействий, про-

исходящих одновременно в пространстве и времени. Принципиальную роль здесь играют поперечные взаимодействия, к-рые в свободно распространяющихся пучках и в традиц. схемах оптич. резонаторов имеют характер диффузии и оказываются мелкомасштабными. Пространственным масштабом и топологией поперечных взаимодействий можно управлять в системах с двумерной обратной связью (рис. 12). В цепи обратной связи кольцевого оптич. резонатора помещается трансформатор поля, осуществляющий поворот, сжатие, растяжение, благодаря чему удается получить  $L_1 \sim \sim d$  ( $d$  — диаметр пучка). В четырёхзеркальном кольцевом резонаторе оказываются связанными между собой поля в разл. точках поперечного сечения пучка. Если в такой резонатор поместить среду с нелинейным показателем преломления, гистерезис и бистабильность возникают не

только во времени, но и в пространстве. Нелинейная динамика поля в резонаторе с двумерной обратной связью описывается ур-ием для нелинейного фазового набега  $\Phi(r, t)$ :

$$\tau_{\text{нл}} \frac{\partial \Phi(r, t)}{\partial t} + \Phi(r, t) = D \Delta_1 \Phi(r, t) + K(1 + \theta \cos \Phi(r', t)), \quad (40)$$

где  $K = \eta k_0 n_2 I_{\text{вх}} l$  — «управляющий параметр»,  $l$  — длина нелинейной среды,  $\eta$  — параметр потерь,  $\theta$  — видность интерференц. картины. Поперечные взаимодействия описываются правой частью (40), первый член характеризует мелкомасштабные взаимодействия; крупномасштабным взаимодействиям обязан сдвиг аргумента  $\cos, r' \neq r$  (параболич. ур-ние со сдвигом аргументом). На рис. 13 приведены фотографии наиб. типичных нелинейных структур: вращающиеся волны (оптич. ревербераторов); спиральных волн, возникающих при больших значениях параметра  $K$ ; случайных

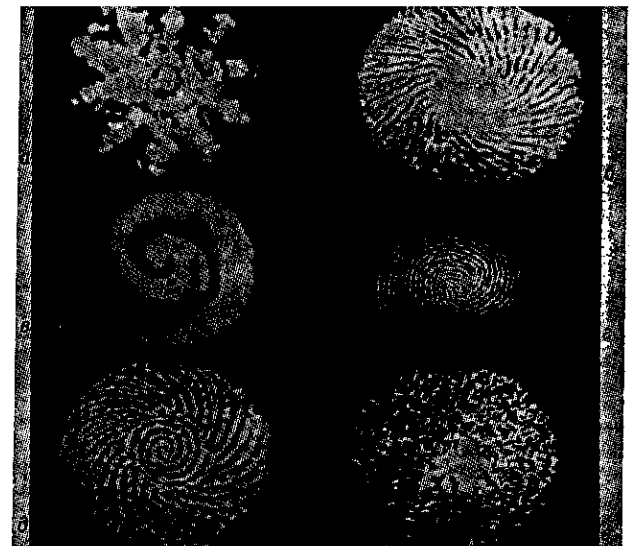
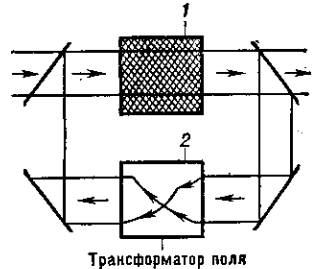


Рис. 13. Нелинейные структуры в резонаторе с двумерной обратной связью: а, б — вращающиеся волны; в, г — спиральные волны (случаю в соответствует меньший коэффициент диффузии); д — сосуществование вращающейся и спиральной структур; е — оптическая турбулентность.